

Н. И. Дерябин

ПЕРСПЕКТИВНЫЕ РУДОНОСНЫЕ ПЛОЩАДИ УКРАИНСКОГО ЩИТА

(Рекомендовано акад. НАН Украины Е. Ф. Шнюковым)

На площе Українського щита виділено 20 прогнозно-перспективних площ з проявом на них таких структур: рифтогенних (AR_3) з рудами Fe, Cu; контракційних (PR_1) з рудами Ta, Nb, Li, Au, Mo; рифтогенних (PR_2) з рудами Cu, Au.

Twenty forecast promising area are outlined in the margins of the Ukrainian Shield with manifestation of riftogenous (Ar_3) with ores of Fe,Cu; contractional ones (PR_1) with ores of Ta, Nb, Li, Au, Mo and again riftogenous structures (PR_2) with ores of Cu, Au.

Наиболее древними структурами Украинского щита (УЩ) являются останцы пород в виде выступов днестровского (AR_{1+2}) контракционного цикла, сложенных гнейсами днестровско-бугской (на западе), аульской (в центре) и западноприазовской (на востоке) серий. Следующий лопский (днепровский) рифтогенный цикл проявился формированием позднеархейских гранитно-зелено-каменных структур (поясов), представленных базальтовыми авлакогенами, трогами, гранитоидными валами, лакколитами, осадочными кальдерами и грабен-синклиналями. Далее, проявился раннепротерозойский контракционный ярус с формированием депрессионно-осадочных прогибов и купольно-плутонических гранитоидных орогенов (с кировоградским, бердичевским, гайсинским комплексами). Закончилось тектоническое развитие щита в позднепротерозойском (готском) рифтогенном тектоническом цикле, проявленном на западе и востоке в виде вулканических авлакогенов с клесовской серией, а также штоков, факолитов с гранитоидами осницкого и восточноприазовского комплексов, а позднее грабен-плутонов с корсунь-новомиргородским рапакивигранитным комплексом и впадин с осадками овручской и полесской серий (см. рисунок) [1].

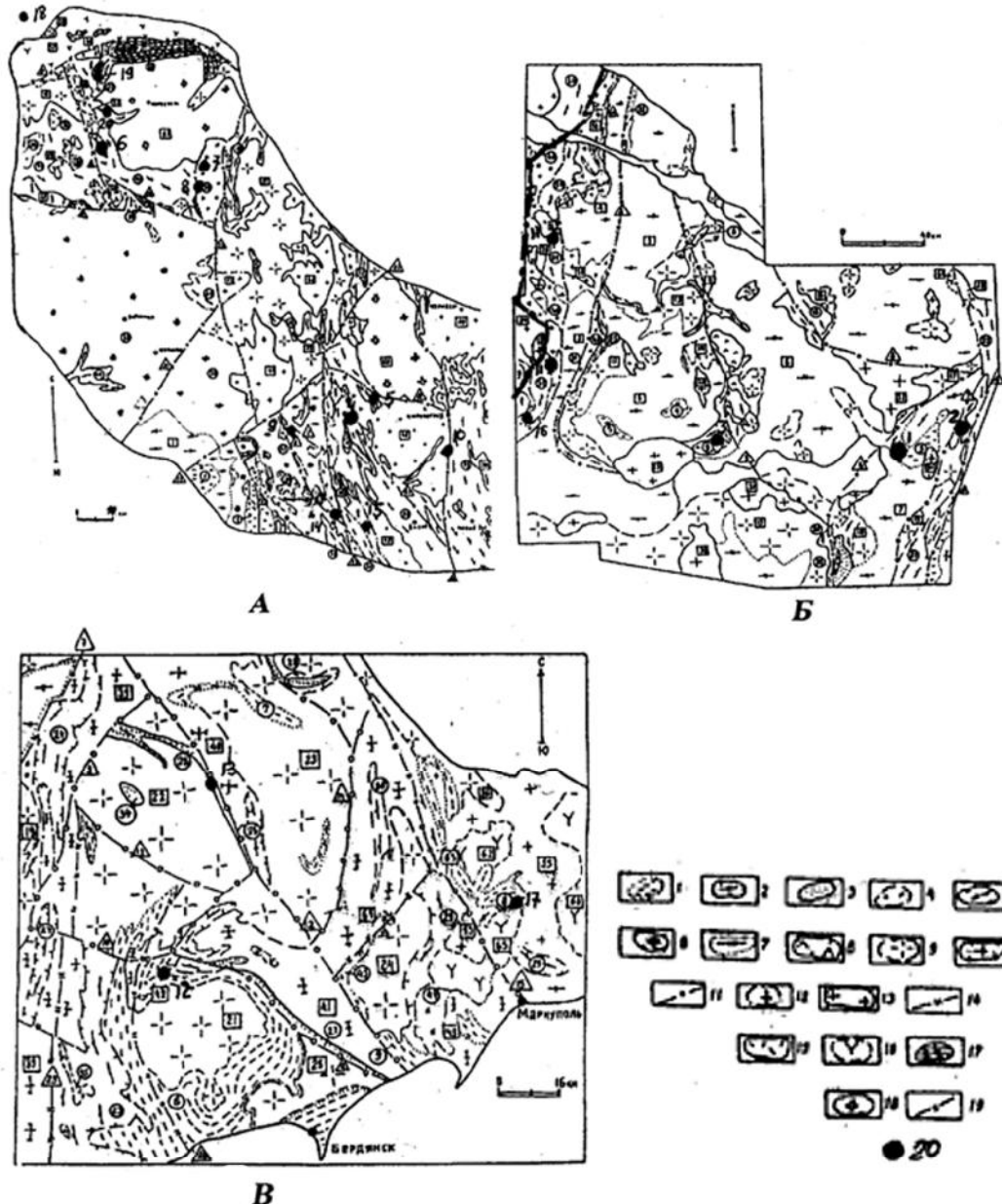
Одним из главных рудоконтролирующих факторов в структурах УЩ являются зоны флюидизитовых пород [2, 3]. Эти породы более основного состава служили экранами для кислых флюидов с рудными компонентами Cu, Zn, Pb, Fe, Mo, Au, а более кислого состава являлись экранами для руд, приносимых щелочными флюидами с компонентами Ta, Nb, TR, Li, P, Mn, Hg, Au. Последние преобладали в контракционных структурах, где в результате гранитизации более широко были развиты кислые экраны, а среди флюидов преобладали щелочные растворы. В целом, более продуктивными рудными компонентами являлись золото (в кварцитах), молибден (в грейзенах), редкие и редкоземельные ме-

таллы (в пегматитах) и железо (среди полосчатых осадочных кварцитов). Другие же рудные полезные ископаемые были малопродуктивными.

Флюидизитовые рудопроводящие и околоврудные породы представляли собой тектоногидротермальные образования. Они формировались в швах разломов среди тектонических брекчий и напорных флюидных эксгаляционных потоков с широким диапазоном температур, давления и насыщенности летучими компонентами: от растворов-расплавов (карбонолиты, серпентиниты), через коллоидные системы (кварциты, глаукониты) и до концентрированных рассолов-электролитов (филлиты, псевдогравелиты, псевдопесчаники). В рифтогенных структурах кислые флюидизитовые породы при осаждении компонентов из щелочных растворов представлены кварцитами, псевдопесчаниками, кварц-карбонатными жилами, кварцito-брекчиями, псевдоконгломератами и пегматитами. В этих породах локализовались среднетемпературные руды – медно-цинковые, молибден-вольфрамовые (в штокверках), а также низкотемпературные – урановые и золота. Щелочно-основные флюидизиты из кислотных растворов представлены серпентинитами, карбонатитами, филлитами, тальковыми и карбонат-хлоритовыми сланцами и биотитовыми слюдитами. В них формировались медно-никелевые, апатитовые, редкометалльные, железные и марганцевые руды. В орогенных (контракционных) структурах после прохождения щелочных флюидов и гранитизации пород с формированием пегматоидов, артеритов и кварцевых жил происходила локализация редких металлов и золота. Поэтому при прогнозировании рудоносных площадей главными их признаками являлись: швы разломов, выполненные флюидизитовыми породами; штоки малых гранитных массивов; экзоконтактовые зоны раннепротерозойских гранитных plutонов и краевые прогибы, ограниченные глубинными разломами (см. рисунок).

Кратко охарактеризуем прогнозные площа-ди УЩ (см. таблицу).

© Н. И. Дерябин, 2011



Структурно-тектоническая карта западной (А), центральной (Б) и восточной (В) частей УЩ

1 – останцы раннеархейских протоскладкогенных структур; 2–4 – позднеархейские рифтогены: 2 – авлакогены позднеархейские, проторифтогенные с метаморфизованными вулканитами основного состава; 3 – кальдеры, моноклинали проторифтогенные с флишоидными толщами железистых кварцитов и парасланцев; 4 – грабен-синклинали проторифтогенные с метаморфизованными парапородами; 5–6 – складкогенные ранне-протерозойские купольные структуры: 5 – впадины с изоклинально-складчатыми метаморфизованными парапородами; 6 – лопариты, лакколиты, купола с мигматитами и гранитами; 7 – надвигово-горстовые выступы раннеархейского фундамента щита с протоскладкогенными плутонитами; 8–11 – структуры позднеархейские проторифтогенные: 8 – раздвиги, троги, авлакогены проторифтогенные с субвулканическими породами; 9 – раздвигово-сбросовые зоны, кальдеры с автохтонными гранитами; 10 – грабен-плутоны; 11 – сбросы, в швах с флюидизитовыми породами; 12–14 – структуры раннепротерозойского орогенеза: 12 – надвиговые зоны с гранитизированными породами; 13 – горсты, выступы, валы с гранитами, эндербитами, чарнокитами; 14 – швы разломов с милонитами, пегматоидными гранитами, флюидизитовыми алюмокварцитами; 15–19 – структуры позднепротерозойского рифтогенеза: 15 – авлакогены, троги с метаморфизованными вулканитами контрастных серий; 16 – лакколиты, факолиты, штоки с плутоническими породами; 17 – впадины, кальдеры с осадками; 18 – грабен-плутоны; 19 – разломы; 20 – прогнозные площади (вне масштаба)

Прогнозные рудоносные площади УЦ

№ ш/п	Название рудоносной площади	Номен- клатура	Рудопроявление	Рудная формация	Рудоконтролирующая структура	Рудовмещающая порода	Мон- гель- ность руд. м	Руды	Содер- жание рудного компо- нента	Источник
Рифтогенные структуры (AR ₃)										
1	Конская	L-36-VI	Веселнякое	Fe-кварцитовая, Мо-тигросиликатная	Шовная зона разломов	Сланцы амфибол- карбонатные Пироксен- магнетитовые	—	Fe, Mo	—	А. А. Петренко, 2005 г.
2	Павло- градская	L-36-VI	Васиновское	Fe-тигросиликатная и кварцитовая	Кальдеры, впадина	плоскостные кварциты	9	Fe	30%	То же
3	Черто- млыкская	L-36-VI	Алексеевское	Медно-порфировая, Аи-березитовая	Анфакоген, швы разломов	Псевдолесчаники, березиты, грейзены	—	Cu, Zn	—	[1]
Контракционные структуры (PR ₁)										
4	Звени- городско- Аниловская	M-36-XXXII	Полоховское, Станковатское	Литиско- грейзеновая	Швы разломов	Грейзены, скарны	2	Li ₂ O	0,6%	В. М. Ключков, 2001 г.
5	Ново- константи- новская	M-36-XXXII	Марьиновское	Уран-альбититовая	Ониксово-Лозоватская зона разломов	Альбититы	5	U	—	То же
6	Соро- чинская	M-35-XVII	Киселевское	W-скарновая, Li-эпиген- грейзеновая	Швы разломов	Грейзены	3	Li ₂ O, W	—	М. П. Шербина, 2001 г.
7	Кочеровская	M-35-XIII	—	Золото-березитовая	Зона наивыс	Березиты	—	Ta ₂ O ₅ , Nb ₂ O ₅	—	Р. Н. Дорогин, 1985 г.
8	Виленская	M-35-XIII	Заболоченское	Редкометалльно- графитовая	Швы разломов в кальцифирах	Грейзены, пегматиты	4	Nb ₂ O ₅ Ta ₂ O ₅	0,022%	К. Ю. Есинчик и др., 2002 г.
9	Троянская	M-36-XXXI	Тарасовское	Мартанцево- скарновая,	Грабен	Скарны, эхисты	2	Au, Mo	3/r/t, 2,6%	В. С. Конощенко, 1990 г.
10	Надеж- динско- Юрьеская	M-35-XXXIII	Клинцовское	Золото-березитовая	Зона разлома	Березиты, кварцит	2	Au	4,89 r/t	О. М. Нечасенко, 2007 г.
11	Ингулецкая	M-36-XXXIV L-36- IV	—	Золото-кварцевая, полиметалличес- ко-кварцевая	Шовная зона разлома	Кварцевые жилы	2	Fe, P, C	—	В. В. Захаров, 2002 г.
12	Верхнеток- макская	L-37-VII	Новолопатское	Золото-березитовая	Зоны разломов	Листвениты, березиты кварциты	—	Au	—	[1]
13	Косовская	L-37- I	Косовское	Молибден- грейзеновая	Гайчуровский разлом	Пегматиты, гнейзы	—	Fe, Mo, Au	—	А. А. Петренко, 2005 г.

Закінчення таблиці

14	Александровская	L-36-II	Даниловское, Белонеловское	Молибден-пегматитовая. Редкометалльно-гнейзеновая	Зоны разломов	Пегматиты, скарны, грейзены	2,5	Mo, TR_2O_5	1,46 %	Е. П. Крамских, 1995 г.
15	Вознесенская	L-36-II	Старо-александровское	Молибден-пегматитовая	Зоны разломов	Пегматиты	5	Mo	0,3%	Г. А. Шварц, 2004 г.
16	Ново-украинская	L-36-III	Малеевское	Молибден-скарновая	Крыло синклиналии, разломы	Диопсидовые скарны, грейзены	1	Mo	2,0%	Е. П. Крамских, 1995 г.
Рифтогенные структуры (PR ₂)										
17	Восточно-Приазовская	L-37-II	Кашмунуское, Новоселовское	Редкомемельно-гнейзеновая	Швы разломов	Грейзены, спилиты	10	TR_2O_5	0,05%	В. П. Клос, 2007 г.
18	Дубровицкая	M-35-III	—	Медно-колчанная	Вулканические кальдеры	Пропилиты	10	Cu, Zn	—	Н. И. Дерябин, 2005 г.
19	Белокоровичская	M-35-XI	Белокоровичское	Золото-конгломератонийная	Впадина	Конгломераты	2	Au	1 г/т	Б. Л. Высоцкий, 1982 г.
20	Кривотинская	M-35-XI	Гулянское	Золото-кварцевая	Звенигородско-Ниловский разлом, крыло впадины	Граниты ранакии, кварциты	0,3	Au	3 г/т	М. М. Костенко, 1999 г.

1. КОНКСКАЯ ПЛОЩАДЬ (Fe). Расположена в одноименной зеленокаменной структуре, вытянутой в меридиональном направлении на 20 км. Сложена в нижней части разреза позднеархейскими амфиболовыми кристаллическими сланцами с магнетитом сурской свиты, которые перекрываются в ядре синклиналии хлорит-магнетит-сидеритовыми сланцами михайловской свиты. Здесь известен ряд рудопроявлений железистых кварцитов с содержанием Fe_{общ} до 44%.

2. ПАВЛОГРАДСКАЯ ПЛОЩАДЬ (Fe). Находится в восточной части Западно-Приазовского блока в полосе зоны Орехово-Павлоградского разлома. Здесь проявляется вовчинская толща (AR₁) амфибол-магнетитовых кварцитов мощностью до 65 м с содержанием Fe_{общ} до 30%.

3. ЧЕРТОМЛЫКСКАЯ ПЛОЩАДЬ (Cu, Zn). Расположена в одноименной зеленокаменной структуре к западу от Чкаловского массива плагиогранит-порфиров среди кварцевых порфиров позднего архея. Площадь ее до 10 км². Здесь в полосах кварц-серicitовых сланцев проявляется минерализация сульфидов (до 10%) с халькопиритом, сфалеритом и пирротином. Площадь перспективна на поиски медно-колчеданных руд [1].

4. ЗВЕНИГОРОДСКО-АННОВСКАЯ ПЛОЩАДЬ (Li, Au, U). Прослежена вдоль юго-западного контакта Новоукраинского массива гранитов (AR₁). Ее площадь, вытянутая в субмеридиональном направлении, достигает 200 км². В Звенигородской зоне разломов проявляются полосы скарнов, грейзенов и альбититов. В Михайловской зоне среди прослоев пелитовых пород с графитом, силлиманитом и сульфидами содержание оксида лития составляет 0,6%. Среди альбититов в швах разломов мощностью до 190 м наблюдается вкрапленность уранинита, настурна и бронерита с содержанием урана до 0,9%. Здесь на ряде участков среди минерализованных полос березитов и лиственитов мощностью 0,7 м содержание золота достигает 10 г/т.

5. НОВОКОНСТАНТИНОВСКАЯ ПЛОЩАДЬ (U). Расположена в виде субмеридиональной полосы Оникеево-Лозоватской тектонической зоны шириной до 10 км в пределах Новоукраинского массива гранитов. Швы локальных разломов здесь заполнены альбититами с сульфидной минерализацией и геохимическими аномалиями – Nb, Zr, Sn, Mo, Pb, Zn, Cu, а также проявлениями урана.

6. СОРОЧИНСКАЯ ПЛОЩАДЬ (Li,W). Находится на севере Красногорско-Житомирской зоны разломов, к юго-западу от Коростенского plutона. Общая площадь – 25 км². В локальных разломах среди житомирских гранитов (PR₁) проявляются полосы, выполненные скарнами с шеелитом, мариуполитами с цирконом и сподуменом. Содержание вольфрамита в протолочках

достигает 2210 г/т, лития (на участке Березовая Гать) – до 0,1%.

7. КОЧЕРОВСКАЯ ПЛОЩАДЬ (Ta, Nb). Расположена в пределах Кочеровской структуры в северо-западном экзоконтакте Заболочевского массива гранитов. Среди кальцифиров и кристаллических сланцев (AR_3) в зонах разломов проявляются дайки гранитных пегматитов мощностью до 5 м с минерализацией апатита, ортита, монацита и колумбита. Содержание оксидов тантала и ниобия составляет 0,015%.

8. ВИЛЕНСКАЯ ПЛОЩАДЬ (Ta, Nb). Находится в юго-западной части Кочеровского надвига на границе одноименной структуры. Субмеридиональная тектоническая зона шириной 1,5 км, с небольшими массивами гранитов, включает полосы мощностью 1–5 м пегматитов, грейзенов с флюоритом, колумбитом, сподуменом и хризобериллом. Содержание оксидов танталла и ниobia составляет 0,022%. Здесь среди амфиболиотитовых гнейсов проявляются прослои мощностью 2–16 м графитовых сланцев с содержанием графита до 10%.

9. ТРОЯНСКАЯ ПЛОЩАДЬ (Au). Расположена в Побужском районе во Врадиевской и Ятранской зонах разломов на площади до 60 км². В кристаллических сланцах хощевато-завальевской свиты (AR_3) и среди скарнированных кальцифиров и даек аплитовидных гранитов в зонах рассланцевания проявляется в грейзенах в виде гнезд размером 2 см минерализация сульфидов с молибденитом. На Молдовской, Секретарской, Демовярской и Голованевской структурах в кварцевых жилах среди мигматитов и березитов установлены зонки мощностью до 5 м с содержанием золота до 10 г/т.

10. НАДЕЖДИНСКО-ЮРЬЕВСКАЯ ПЛОЩАДЬ (Au). Прослежена в виде меридиональной полосы длиной 80 км при ширине 5 км вдоль восточного контакта Новоукраинского и Бобринецкого массивов гранитов (PR_1). Среди графитовых и биотитовых гнейсов чечелеевской свиты (PR_1) проявляются зонки мощностью до 80 м и протяженностью до 1 км кварцитов и березитов с минерализацией сульфидов, участками с содержанием золота 6,2 г/т. В более южной Алексеевской полосе длиной 6,5 км и шириной 600 м установлены зонки пропилитов и кварцитов с сульфидами до 5%. Содержание золота в них 1,2 г/т.

11. ИНГУЛЕЦКАЯ ПЛОЩАДЬ (Fe, P, C). Расположена в шовной (надвиговой) зоне в виде меридиональной полосы шириной до 10 км и протяженностью 120 км, на востоке ограничена Западно-Ингулецким и Ингулецким разломами. Мелкие мульдообразные структуры на площади были сложены графитовыми гнейсами и кристаллическими сланцами (PR_1) с полосами альбитетов с сульфидами и грейзенов с молибдени-

том. В позднеархейских останцах мелких структур среди кировоградских гранитов проявляются прослои железистых кварцитов родионовской свиты с содержанием $Fe_{общ}$ до 49%. Среди кальцифиров здесь установлена вкрапленность апатита с содержанием P_2O_5 до 5,3%. Скопления апатита образовывали гнезда, линзы мощностью 0,2 м и, в целом, рудные тела пластрообразной формы мощностью до 2–5 м. Также в графитовых сланцах с вкрапленностью графита до 20% содержание углерода на мощность 100 м достигало 6,8%.

12. ВЕРХНЕТОКМАКСКАЯ ПЛОЩАДЬ (Au). Находится в Западном Приазовье к северу от Салтычанского массива гранитов (AR_3). Вдоль полосы шириной 12 км на северном продолжении Сорокинской зоны проявляются метаморфизованные флюидизитовые метапесчаники, сланцы, гнейсы осипенской свиты и локальные полосы (линзовидные тела) метаберезитов, металистенитов с сульфидами и геохимическими аномалиями микрозлементов Cu, Ag, Pb.

13. КОСОВСКАЯ ПЛОЩАДЬ (Fe, Mo, Au). Расположена в Западном Приазовье в виде приразломной моноклинали в пределах Гайчуринского разлома шириной 6 км, примыкающей к северо-восточному контакту Ялинского массива плагиогранитов (AR_3). Сложена гнейсами, кристаллическими сланцами, железистыми кварцитами западноприазовской серии (AR_1). Мощность пластов железистых кварцитов составляет 80 м, среднее содержание в них $Fe_{общ}$ 33%. Среди грейзенов, развитых по биотит-амфиболовым гнейсам, установлены минерализованные сульфидами с молибденитом полосы. В штуфных пробах содержание молибдена достигает 0,15%. Здесь в кварцевых жилах среди рассланцеванных гранат-биотитовых кристаллических сланцев и даек плагиогранитов развиты минерализованные сульфидами зонки мощностью 2–5 м с содержанием золота до 10,8 г/т.

14. АЛЕКСАНДРОВСКАЯ ПЛОЩАДЬ (Mo, TR). Находится в южной части Побужья, в зоне Первомайско-Трактемировского разлома. Площадь ее до 100 км². Сложена гнейсами (AR_3) и гранитоидами (PR_1). В купольных структурах в зонах разломов среди эндербитов в виде гнезд и линз проявляется минерализация молибденита с содержанием молибдена на мощность 2,15 м до 1,46%. В порфиробластовых гранитах (AR_1) среди эндербитов проявлялись полосы мощностью 2,3 м биотитовых грейзенов с вкрапленностью монацита до 6 кг/т и ксенотима до 5,7 кг/т. Содержание TR_2O_5 (иттриевой группы) составляет до 0,095%.

15. ВОЗНЕСЕНСКАЯ ПЛОЩАДЬ (Mo, TR). Расположена в юго-восточной части Побужья в экзоконтактовых зонах Вознесенского гранитно-

го массива. Общая площадь до 300 км². В дайках пегматитов среди альбитизированных гранитов и березитов наблюдаются проявления сульфидов с молибденитом в виде пластинок и агрегатных включений с содержанием молибдена 0,31%. В Вознесенской зоне разломов среди грейзенизованных пегматитов мощностью до 15 м в центральных частях даек содержание биотита достигает до 80% (в грейзенах) с проявлением минерализации ксенотима и монацита с содержанием TR₂O₅ до 1,513%.

16. НОВОУКРАИНСКАЯ ПЛОЩАДЬ (Mo). Находится в южной части Ингулецкой шовной зоны. Среди метапесчаников кристаллических сланцев, кальцифирированных родионовской свиты (AR₃), прорванных гранитами кировоградского комплекса (PR₁), локализовались зоны скарнов, грейзенов и гидросиликатов с сульфидной минерализацией и в виде гнезд прожилков мощностью до 1 м с вкрапленностью молибденита, танталита и ксенотима. Содержание молибдена – 0,2–2,0%.

17. ВОСТОЧНО-ПРИАЗОВСКАЯ ПЛОЩАДЬ (Ta, Nb, TR). Представлена более высоким эрозионным срезом с метаморфизованными породами всех тектонических ярусов в виде останцев и полос среди интрузивных проявлений раннего и позднего архея и раннего протерозоя. Особенностью рудноносными являются образования позднепротерозойского (готского) яруса, которые выполняли в зонах пересечения разломов штокообразные массивы восточноприазовского комплекса: габброиды, сиениты, граносиениты. Их площадь более 100 км². Среди них в швах локальных разломов установлены пегматиты и метасоматиты: фениты, грейзены, мариуполиты и пропилиты с редкометальным оруденением. Это такие проявления, как Кальмиусское, Володарское, Стародубовское, Новоянисольское, Мазуровское и др. В зонах мощностью до 60 м с вкрапленностью танталита, пирохлора, циркона, ортита, чевкинита, бритолита содержания рудных компонентов составляли: Ta₂O₅ – 0,012%, Nb₂O₅ – 0,087% и Ta₂O₅ – 0,1–0,9%. Рудные зоны выражены также комплексом элементов в контрастных геохимических аномалиях.

18. ДУБРОВИЦКАЯ ПЛОЩАДЬ (Cu). Расположена в западной части Осницкого блока. Ее площадь 16 км². На площади развиты в брахиантиклинали гнейсовидные лептиты (по порфирам) клесовской серии (PR₂), прорванные дифференцированным габбро-гранитным массивом осницкого комплекса. В приконтактовой зоне массива появляются полосы шириной 700 м, выполненные метасоматитами: скарноидами, артеритами, пропилитами с сульфидами, фиксируемыми геохимическими аномалиями – Cu, Sn, Mo, Ag, Pb, Zn. Учитывая развитие здесь контра-

стных серий вулканических пород с зонами проводимости рудоносных растворов, можно предположить присутствие в них руд колчеданного типа.

19. БЕЛОКОРОВИЧСКАЯ ПЛОЩАДЬ (Au). Находится на южном окончании Белокоровичского рифтогенного трога, выполненного экскавационно-осадочными полосчатыми кварцитами, аргиллитами и псевдопесчаниками позднего протерозоя (рифея). Их общая мощность составляет 300 м; при этом мощность кварцитов в нижней части разреза резко уменьшается с юга на север. В основании мульдообразной структуры [1] проходила полого падающая на юг зона проникаемого разлома шириной до 1 км, выполненная экскавационными серицито-песчаниками с полосами конгломерато-брекчий. В последних содержание золота составляет 0,1 г/т, а в их серицитовом цементе – 2,0 г/т. В кровле тектонической рудопроводящей зоны среди гранитов и кварц-полевошпатовых метасоматитов, окварцованных гнейсов проявляется также сульфидная минерализация с содержанием золота до 0,2 г.

20. КРИВОТИНСКАЯ ПЛОЩАДЬ (Au). Расположена в юго-западной части экзоконтакта габброидных пород Коростенского plutона (PR₂). Площадь ее 120 км². Сложена гнейсами и мигматитами (PR₁) с полосами шириной до 2 км, выполненными грейзенами, эйситами, альбититами и березитами. В этих окварцованных зонах с сульфидной минерализацией до 5% локализуется оруденение золота. В кварцевых жилах мощностью до 3 м содержание золота составляет 0,3 г/т. Также среди метасоматитов здесь широко проявляются геохимические аномалии редкометальных и халькофильных элементов. В кварцевых жилах, залегающих в дайках порфиров с сульфидами, отмечается вкрапленность молибденита, кассiterита, фенакита и циннвальдита.

Таким образом, принимая во внимание развитие на УЦ зеленокаменных рифтогенных структур с базальтоидным магматизмом, с одной стороны, и проявление в контракционных структурах раннего протерозоя кислого магматизма с гранитизацией пород – с другой, можно утверждать, что более продуктивными здесь являются руды: железа (в полосчатых кварцитах), редких и редкоземельных металлов (в пегматитах и метасоматитах), молибдена (в грейзенах) и золота (в кварцитах). При этом сульфидно-никелевые руды, хромиты и алмазы отсутствуют из-за слабого проявления пород магнезиального ряда с ультравосстановительной средой их отложения. Медно-колчеданные руды также не проявляются вследствие слабой дифференциации пород вулканических серий. Не отлагаются также руды олова и вольфрама из-за скучности развития на пло-

щади скарнов, эйситов, гумбейтов, а также кислых пород с фтором. В литологическом контроле руд в рифтогенных структурах (раздвигах, кальдерах, грабенах) для кислых флюидов с рудными компонентами Fe, Mo, Au экранами служили известняки, скарны, серпентиниты, филлиты. Для более щелочных флюидов с компонентами Ta, Nb, TR, Li, P, Mn, Au экранами служили породы более кислого состава – пегматиты, грейзены, кварциты и псевдопесчаники. Последние преобладали в контракционных структурах (орогенных поднятиях, впадинах, краевых прогибах). В структурном контроле руд главенствующая роль принадлежала крутопадающим флюидизитовым зонам швов разломов с эксгалакционными потоками флюидизитовых брекчий, псевдоконгломератов и псевдопесчаников.

При дальнейших поисковых работах на выделенных прогнозных площадях необходимо проведение детального поисково-геологическо-

го картирования в масштабе 1:10 000 с постановкой электроразведочных и магнитных съемок и буровых работ по сети 0,5x0,2 км в аномальных зонах. Общий объем бурения может составлять до 5 тыс. скважин глубиной до 200 м.

1. Дерябин Н.И. Рудные формации Украины. – Киев, 2006. – 305 с.
2. Дерябин Н. И. Флюидизиты докембрия. – Киев, 1997. – 171 с.
3. Дерябин Н. И. Флюидное рудообразование. – Киев, 1999. – 278 с.
4. Дерябин Н. И. Прогнозные площади эндогенных руд Украинского щита. – Киев, 2010. – 190 с.

Ин-т геол. наук
НАН Украины,
Киев
E-mail: naumenko@geolog.kiev.ua

Статья поступила
01.11.10